



# مجلة المكتبة وال硏究 العلمي

مجلة فصلية أنشئت سنة ١٣٦٩هـ - ١٩٥٠م - الجزء الأول - المجلد الثاني والخمسون

١٤٢٦هـ - ٢٠٠٥م

# تقنيات حديثة لمشاهدة الذرات والجزيئات وتجمعاتها وتحركاتها

أ. د. جلال محمد صالح

جامعة بغداد

## الملخص :

استخدمت خلال العقود الثلاثة الأخيرة تقنيتان مهمتان لغرض  
أبصار الذرات والجزيئات وتجمعاتها على شاشة فلورسينية ، ولمتابعة  
تحركات وتفاعلاتها تلك الدقيقة بالعين المجردة . والتقنيتان هما : تقنية  
انبعاث الإلكترونات المجالي ( Field – Electron Emission ) وتقنية  
انبعاث الأيونات المجالي ( Field – Ion Emission ) . تعتمد التقنية  
الأولى على استخدام كاثود ( مهبط Cathode ) فلزي على هيئة مدبة  
حادة النهاية ( Sharp Metal Tip ) . ونظرًا لصغر هذه النهاية الفلزية  
فإنها تؤلف بلورة منفردة ( Single Crystal ) ذات مستويات بلورية  
واضحة المعالم . وتُلحَّم النهاية المدببة بعد ذلك بوسط سلك نحيف من  
التنكسن الذي يكون على شكل الحرف الإنكليزي U وتُلحَّم نهايتي هذا  
السلك بقطبين من التنكسن وبذا يتيسر تسخين سلك التنكسن متى ما  
أريد بذلك بamarar تيار كهربائي مناسب فيه . ويتم تركيب الكاثود  
( النهاية الفلزية المدببة ) وسلك التنكسن الذي يحملها في مركز دورق  
زجاجي كروي ( أو مخروطي ) الشكل بحيث تتجه النهاية المدببة نحو  
جدار الداخلي المقابل للدورق ( الشكل ٣ ) . وهذا الجدار المقابل تماماً

للنهاية الفلزية المدببة يُكسي بطبقة رقيقة من كلوريد القصدير ( $\text{SnCl}_2$ ) ليصبح موصلًا جيداً للتيار الكهربائي ، ثم تُغطى هذه الطبقة الموصلة بمادة فلورسينية كي تصبح بمثابة شاشة يمكن عرض الصور الإلكترونية عليها . وترتبط الشاشة من خلال سلك قصير موصل بالأنود (المصدع Anode) الذي يتم تسلیط فولتیة عالیة (موجبة) تصل إلى عدة کیلو فولتات عليه . تكون المسافة بين الشاشة الفلورسينية المربوطة بالأنود والنهاية الفلزية المدببة التي تقوم مقام الكاثود بحدود (١٥-١٠) سنتيمتر . فعند تسلیط مجال كهربائي عالٍ بين الأنود المربوط بالشاشة والنهاية الفلزية المدببة (الکاثود) تتبع الإلكترونات من المستويات البلورية المختلفة التي تقع على سطح النهاية المدببة ، وتكون مسارات الإلكترونات المنبعثة عمودية على المستويات البلورية التي انبعثت منها . ويسمى هذا بالإسقاط العمودي (Orthographic Projection) وتسير تلك الإلكترونات بخطوط مستقيمة لتسقط على الشاشة الفلورسينية مولدة صورة مكبرة للمستويات البلورية الباعة للإلكترونات . وتتألف الصورة المستحصلة (الشكل ٥) على بقع مضيئة وأخرى معتمة . والبقع مضيئة تنجم عن الكثافة العالية نسبياً للإلكترونات المنبعثة من المستويات البلورية . أما البقع المعتمة أو الأضعف إضاءة فانها تشير إلى المستويات البلورية التي انعدم منها الانبعاث الإلكتروني او كان الانبعاث الإلكتروني منها بكثافة ضعيفة . فالصورة التي تستحصل على الشاشة الفلورسينية هي اذن صورة مكبرة (بحوالی مليون مرة ) للمستويات البلورية المختلفة التي يشتمل عليها سطح النهاية المدببة ، فهـی اذن بمثابة خارطة للمستويات البلورية المختلفة لسطح النهاية الفلزية المدببة .

وتناسب شدة الالكترونيات المنبعثة من أي مستوى بلوري مع كثافة النرات التي تؤلف بنية ذلك المستوى وعلى اسلوب رص تلك النرات وطبيعة الترابط الاصري الذي يجمع نرات المستوى معاً. وتعتمد درجة التكبير في الصورة المستحصلة على نسبة بعد النهاية المدببة عن الشاشة وعلى نصف قطر تقوس النهاية المدببة، بالإضافة إلى اعتمادها على عامل هندسي معين. والامتزاز الكيميائي لغاز أو بخار على سطح النهاية المدببة يسبب تغييراً ملحوظاً في كثافة الالكترونيات المنبعثة من المستويات البلورية وفي الصورة المستحصلة على الشاشة. ويمكن التعرف على طبيعة تأثيرات الداائق الممتازة على المستويات البلورية من تحليل الصورة التي تسجل على الشاشة ومن قياسات قيم معلمات معينة .

اما في التقنية الثانية (تقنية ابتعاث الايونات المجالي ) فان النهاية الفلزية المدببة تصبح بمثابة الانود والشاشة الفلورسينية بمثابة الكاثود . ويتم ادخال غاز الهيليوم تحت ضغط (١,٠) باسكال في الورق . وعند تسلیط مجال كهربائي عالٍ بين القطبین تتأین نرات الهيليوم حال اصطدامها بسطح الانود، فيتم عندئذ تعجیل ایونات الهيليوم الموجة المتكونة فتتحرك باتجاه الشاشة الفلورسينية مكونة صورة مرئية للنهاية الفلزية المدببة . ويصل التكبير في الصورة بهذه التقنية الى حوالي (١٠) ملايين مرة . اما المميز (Resolution) فيصل فيها الى حوالي (٣) انکستروم مقارنة بـ (٢٠) انکستروم في التقنية الاولى. ومثل هذا التكبير والمميز يتیحان ابصار وتمیز النرات والجزیئات المنفردة الاعیانیة ومتابعة تحركاتها وتفاعلاتها على الشاشة . اما في التقنية الاولى فلن يكون بالامكان الا رؤیة الجزيئات العیانیة الكبيرة

وتجمعاتها . والامتزاز الكيميائي على النهاية الفلزية المدببة من شأنه تغيير طبيعة الصورة المكونة بتنقية انبعاث الأيونات المجالي ، وكذلك تغيير بعض المعلومات ذات العلاقة بالمستويات البلورية المختلفة .

## تمهيد :

هناك عدة تقنيات في يومنا هذا لمشاهدة الذرات والجزيئات وتجمعاتها ولمتابعة تحركات وتفاعلاتها هذه الدقائق على شاشة فلورسسينية بالعين المجردة . وسنشير في هذه الدراسة الى تقنيتين مهمتين منها والى بعض استخداماتها في مجال العلم والبحث العلمي .  
والتقنيتان هما :

١. تقنية انبعاث الالكترونات المجالي Field-Electron Emission Technique وتدعى مجموعة الاجهزه والمعدات التي تُعين على ذلك في هذه التقنية بـ ((مجهر انبعاث الالكترونات المجالي)) Field-Electron Emission Microscope

٢. تقنية انبعاث الايونات المجالي Field – Ion Emission Technique والاجهزه والمعدات المرتبطة بتنفيذ هذه التقنية تدعى بـ ((مجهر انبعاث الايونات المجالي)) Field – Ion Emission Microscope

و واضح من عنواني التقنيتين ان انبعاث الالكترونات او الايونات يتم من خلال تسلیط مجال كهربائي . و سنتطرق فيما يأتي الى الاسس العامة لكل من التقنيتين والى بعض اهم استعمالات كل تقنية في الدراسات والبحوث العلمية في العالم .

١. تقنية انبعاث الالكترونات المجالي Field-Electron Emission Technique  
استناداً الى نظرية الالكترونات الحرّة (Free Electron Theory) في الفلزات تكون اوطاً مستويات الطاقة الالكترونية في الفلزات ممثّلة كلياً بالالكترونات ، ويكون لكل زوجين من تلك الالكترونات برمين متخالفين في الاتجاه (Two Opposite Spins) . اما اعلى مستويات الطاقة

الإلكترونية في الفلزات فقد لا تكون مماثلة كلياً بالاكترونات. تدعى طاقة أعلى مستوى طاقة مماثلة بالاكترونات في الفلزات بدرجة صفر كلفن بـ ((طاقة مستوى فيرمي )) (Fermi Level Energy) .

وعلى هذا فإن أقل طاقة لازمة لتحرير الكترونات من فلز في هذه الدرجة الحرارية تقدر بفرق الطاقة بين طاقة الإلكترون في مستوى فيرمي (ويرمز إليها بـ  $E_F$ ) وطاقة الإلكترون عند إخراجه من الفلز إلى بعد ما لا نهاية من سطحه (وتقدر بـ  $E_V$ ) ، ويقال عندها بأن الإلكترون قد بلغ حالة السكون ، ويتحقق ذلك في الفراغ حيث يصبح سطح الفلز بعيداً عن تأثير الهواء والغازات .

ووصف حالة الإلكترون بالسكون عند بلوغه إلى تلك النقطة ناجم عن فقدان الإلكترون لطاقة الحركة كاملة عند بلوغه إلى نقطة تبعد ما لا نهاية عن سطحه . فالإلكترون عندما يكون داخل الفلز فإنه يخضع لقوة جذب الفلز (قوة جذب الشحنات الموجبة في الفلز) له ، ونقل حرية حركة الإلكترون وطاقة الحركة كلما أبعد الإلكترون بفعل خارجي عن تأثير قوة الجذب الداخلي . وعندما يصل الإلكترون إلى بعد ما لا نهاية من سطح الفلز تختفي طاقة الحركة إلى الصفر ، ويقال بأن الإلكترون قد بلغ حالة السكون . وال الإلكترون الذي فقد طاقته الحركية كلياً هو الكترون ساكن ولكنه لا يتأثر الان بقوة جذب الفلز له . وإذا أريد الان تحريك الإلكترون باتجاه معين فيبني وضعيه تحت تأثير قوة جذب خارجي . فالطاقة الصغرى لخروج الإلكترون خارج مستوى فيرمي (وطاقته عند  $E_F$ ) وايصاله إلى نقطة السكون خارج الفلز حيث يصبح الإلكترون عندما حرأ وبعيداً عن تأثير جذب الفلز له (وتبلغ طاقته الكامنة عند  $E_V$ ) تتمثل بـ :

فالطاقة الصغرى لتحرير الالكترون من الفلز تساوي اذن فرق الطاقة بين  $E_F$  و  $E_V$  ، أي الى المقدار ( $E_F - E_V$ ) والذي يساوي دالة الشغل الالكتروني (Electron Work Function) للفلز ، ونقاش قيمة  $\phi$  بوحدات الالكترون فولت (eV). دالة الشغل الالكتروني لفلز هي اذن اقل طاقة لازمة لتحرير الكترونات من الفلز. وكلما كانت قيمة  $\phi$  صغيرة قلت الطاقة الازمة لتحرير الالكترون من الفلز ، وبالعكس تزداد الطاقة الازمة لتحرير الالكترونات من الفلز بازياد قيمة  $\phi$  ( لاحظ الجزء الايسر من الشكل ١ ) .

وأستناداً إلى نظرية الكم (Quantum Theory) هناك احتمال محدد للإلكترونات التي تمتلك طاقة فيرمي في فلز للتحرر من الفلز وان لم تكن تمتلك الفرق الطيفي ( $E_F - E_V$ )، أي وان لم تتوفر له طاقة دالة الشغل الإلكتروني ، وذلك من خلال اختراق حاجز الطاقة الذي يعيق تحرره وفقاً لما يسمى بتأثير النفق (Tunnel Effect). وهذا يشير إلى وجود بعض الاحتمال لبعض الإلكترونات الفلز في التحرر عن الفلز والانطلاق إلى خارجه بعيداً عن تأثير جذب الفلز لها من خلال إيجاد نفق في حاجز الطاقة ، فإذا استطاع الإلكترون إيجاد مثل هذا النفق في حاجز الطاقة فإنه يستطيع التحرر من الفلز دون الحاجة إلى تملكه لفرق الطاقة ( $E_V - E_F$ ) والذي يقدر بـ  $\phi$ . ونظرية الكم تتبعاً بوجود مثل هذا الاحتمال ، أما تحقيق هذا الهدف عملياً فإنه ليس بسهل المنال دون إحداث بعض التغييرات في حاجز الطاقة نفسه. اذ ان احتمال اختراق الإلكترون للنفق في حاجز الطاقة يكون اكبر اذا كان النفق قصيراً لا يمتد مسافة طويلة خلال حاجز الطاقة . وتقسيم النفق بهذا

الشكل لا يتحقق الا اذا تم تسليط مجال كهربائي جنبي على الفلز ، ومثل هذا المجال المسلط سوف يعمل على تغيير شكل حاجز وعرضه أي مقدار امتداد خارج الفلز .

ان جهد الكهروسكوني (Electrostatic Potential) للإلكترونات التي تكون قريبة من سطح الفلز يمثل القوة المعاقة لهروب الإلكترونات من الفلز وهو يتاسب مع حاجز الطاقة الذي يعترض تحرك الإلكترونات من سطح الفلز . وقيمة الجهد الكهروسكوني هذا تقرب من قيمة دالة الشغل الإلكتروني (أي يساوي  $\phi$ ) . والجهد الكهروسكوني هذا يقل تدريجياً كلما ابتعد الإلكترونون من قوة جذب الفلز له الى ان يتلاشى كلياً وتصل قيمته الصفر اذا ما كان المجال المسلط على الفلز مناسباً وكافياً . فإذا كان المجال المسلط على الفلز عالياً بحدود (١) فولت على الانكستروم ( او حوالي  $10^{-10}$  فولت على السنتمتر ) فان المسافة التي يلزم على الإلكترون قطعها كي يصل الى خارج تأثير الجهد السكوني تكون بحدود (٤-٥) انكستروم . وعلى هذا فانه اذا تم تسليط مجال كهربائي (جنبي) بهذه الشدة على سطح الفلز فانه يصبح بامكان الكترونات مستوى فيرمي التحرر والانبعاث من سطح الفلز دون وجود الحاجة الى تسخين الفلز الى اية درجة حرارية اعلى من درجة الحرارة الاعتيادية . ويوصف مثل هذا الانبعاث الإلكتروني عندها بأنه انبعاث بارد (Cold Emission) .

يلاحظ في الشكل (١) منحنى الطاقة الكامنة للإلكترونات في فلز في غياب (الجزء اليسير من الشكل ) ووجود (القسم اليمين من الشكل ) مجال كهربائي عالي مسلط على الفلز . فالارتفاع  $B_6$  في

الشكل يمثل سطح الفلز ، أما المقدار  $AB$  ، من الارتفاع هذا فإنه يمثل ارتفاع حاجز الطاقة الذي يقاوم تحرر وهروب الإلكترونات من الفلز ، وبساوى دالة الشغل الإلكترون ،  $\phi$  (الفلز) ، حيث :

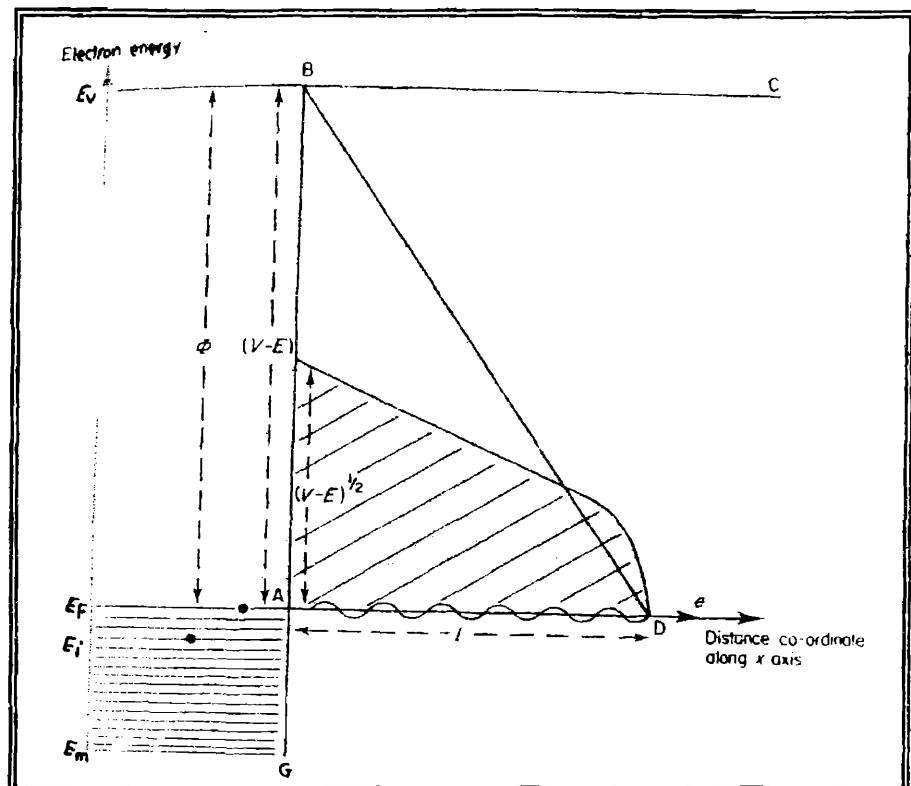
$$\phi = E_V - E_F = V - E \quad \dots \dots \dots \quad (2)$$

وقد تم تعريف  $E_v$  فيما مضى، اما  $E_f$  فهما يمثلان على التوالي الطاقة الكامنة والحركية للإلكترون المتسرب من الفلز عبر النفق في حاجز الطاقة . ففي غياب المجال المسلط على الفلز فان حاجز الطاقة الذي يمنع تحرر وهروب الإلكترونات من الفلز يتمثل بـ ABC في الشكل (١) ، وBC يمثل عرض حاجز الطاقة . وبتسليط مجال كهربائي تبلغ شنته F على سطح الفلز ( حيث  $\phi = \frac{e}{l} F$  ) وA يمثل عرض حاجز الطاقة) يصبح ل حاجز الطاقة مظهر جانبي مثلاً الشكل والذي يتمثل بال مثلث ABD الذي يتمتع بعرض مقداره عند مستوى فيرمي ، وهو يمثل عرض النفق الذي سيخرقه الإلكترون . اما المساحة المظللة في الشكل (١) والتي تكون قريبة من مثلث

$$\int_0^{\ell} (V - E)^{1/2} dx \cong \frac{1}{2} \phi^{3/2} / F \quad \dots \dots \dots \quad (3)$$

واحتمال (P) اختراق الإلكترون للحاجز عبر النفق في المستوى الطيفي  $E_i$  (الشكل 1) الذي يقع تحت طاقة مستوى فيرمي البالغة  $E_F$  يتناسب مع المقدار :

$$P \propto \exp [-(\phi + E_F - E_i)^{3/2}/F] \quad \dots \dots \dots \quad (4)$$



الشكل (١) – منحنى الطاقة الكامنة للإلكترونات في فلز في غياب وجود المجال الكهربائي المسلط عليه . BG يمثل سطح الفلز و AB يمثل حاجز الطاقة الذي يساوي ارتفاعه دالة الشغل الإلكتروني  $\phi$  للفلز والتي يتم تعريفها بموجب العلاقة  $\phi = E_V - E_F = V - E$  حيث  $E_V$  و  $E_F$  هما على التوالي مستوى الطاقة الكامنة للإلكترون الذي بلغ حالة السكون خارج الفلز ومستوى طاقة فرمي للفلز . لما  $E$  و  $V$  فيما على التوالي الطاقمان الحرارية والكامنة للإلكترون المتحر من الفلز عن طريق إيجاد نفق في حاجز الطاقة . ففي غياب المجال المسلط على الفلز يمثل حاجز الطاقة بـ ABC حيث BC هو عرض حاجز الطاقة . وبتسليط مجال كهربائي بشدة F حيث  $F = \phi / l$  يصبح حاجز الطاقة مظهر مثلك مثل ABC الذي يبلغ عرضه  $l$  عند مستوى فرمي والذي يلزم على الإلكترون اختراقه لغرض التحرر من قوة جذب الفلز له . أما المساحة المظللة في الشكل فهي شبه مثلثة وتحسب قيمتها من العلاقة :

$$\int_0^l (V - E)^{1/2} dx \approx \frac{1}{2} \phi^{3/2} / F$$

## الملامح الأساسية لتقنية انبعاث الالكترونات المجالية

تتلخص الملامح الأساسية لتقنية انبعاث الالكترونات المجالية بتسليط مجال كهربائي شديد (بحود  $10^8$  فولت على السنتمتر) على نهاية مدببة لفاز (Metal Tip)، فيسبب مثل هذا المجال المسلط تغييراً وتعديلأً في شكل حاجز الطاقة الذي يعيق تحرر وابعاث الالكترونات من الفاز . فالمجال العالي المسلط يسبب تقليصاً في عرض حاجز الطاقة (المقدار ١ في الشكل ١) كي يصبح بحدود (٤-٥) انكستروم فيسهل على الکترونات النهاية الفازية المدببة اختراقه والسيران من خلال مسار نفقي (Tunneling) فتطلق الالكترونات إلى خارج النهاية المدببة بدرجة الحرارة الاعتيادية ودون اللجوء إلى تسخين الفاز إلى أية درجة حرارية أعلى ، وهذا ما دعوه انبعاث الالكترونات المجالية . ويتم الحصول على المجال العالي (~  $10^8$  فولت على السنتمتر) باستعمال نهاية فازية مدببة يكون نصف قطرها (Radius of Curvature) بحدود  $10^{-4}$  إلى  $10^{-5}$  سنتمتر . وبتسليط جهد يتراوح من (٣-١٥) كيلوفولت بين النهاية الفازية المدببة وأنود يبعد عنها مسافة مناسبة يصبح بالإمكان احداث انبعاث الالكترونات من النهاية المدببة . ويتم توجيه الالكترونات المنبعثة نحو أنود (Anode) الذي يتصل بشاشة فلورسينية . والنهاية الفازية في هذه التقنية تكون بمثابة الكاثود (Cathode) ، ونظراً لأن انبعاث الالكترونات منها يحدث في درجة الحرارة الاعتيادية ، فإن انبعاث الالكترونات يوصف بالانباعث البارد (Cold Emission) . وهذا فان الالكترونات المنبعثة من الكاثود البارد (النهاية الفازية المدببة) تسير نحو الشاشة الفلورسينية المتصلة بالأنود ، وتسقط عليها مكونة صورة مكثرة

للنهاية الفلزية على الشاشة الفلورسسينية . و معلوم ان النهاية الفلزية المدببة يتم تحضيرها بطريقة النمش الكهربائي (Electro-etching) فتتأكل تدريجياً وهي مغمورة في وسط الكترووليت حتى تصبح نهاية الفلز المغمور في الالكترووليت في غاية الدقة بحيث يصعب رؤيتها تحت المجهر باستعمال تكبير يصل الى ١٠٠٠ مرة في الاقل .

ان الالكترونات المنبعثة من الكاثود (النهاية الفلزية المدببة) تضيء الشاشة الفلورسسينية عند سقوطها عليها مولدة صورة مبكرة للمستويات البلورية الواقعة على سطح النهاية الفلزية المدببة ، ويتوقف مقدار التكبير على المسافة التي تصل الكاثود (النهاية الفلزية لمدببة) والأنود (الشاشة الفلورسسينية) وعلى نصف قطر النهاية الفلزية كما سأتي الى شرح ذلك في الموضوع اللاحق . وإذا وجدت جزيئات كبيرة او تجمعات جزيئية على أي مستوى بلوري من المستويات البلورية للنهاية المدببة فسوف ينعكس اثرها في الصورة التي تظهر على الشاشة وإذا كانت الجزيئات او تجمعاتها قادرة على الحركة على المستويات البلورية للنهاية الفلزية فسوف تظهر اثار هذه الحركة ايضا على الشاشة الفلورسسينية .

تخضع كثافة التيار الكهربائي ، ( أي كثافة الالكترونات المنبعثة ) الذي يمر في دائرة الكاثود/الأنود والمنبعث بتأثير المجال الكهربائي المسلط الذي تبلغ شدته  $F$  الى معادلة فاوكر ونوردهايم (Fowler – Nordheim Equation ) :

$$i = 6.2 \times 10^6 (\phi / E_F)^{1/2} (\phi + E_F)^{-1} F^2 \exp(-6.8 \times 10^{17} \phi^{3/2} / F) \dots\dots\dots (5)$$

وينتم تعریف المجال الكهربائی ( $F$ ) بدلالة العلاقة :

و  $\frac{V}{k}$  هو الفولتية المسلطية و  $\frac{r}{2}$  نصف قطر النهاية الفلزية المدببة و ثابت.

ان احتمال اختراق الالكترونات الواقعة عند سطح فلز لجاجز الطاقة من خلال اختراق الحاجز عبر نفق يعتمد على حالة الطاقة  $E$  للالكترونات الموجودة عند سطح الفلز . يتم تغيير عدد الالكترونات التي تمتلك طاقة تتراوح من  $E$  الى  $E+dE$  يمكنها الانبعاث من مساحة سطح تبلغ (1) سنتيمتر مربع في الثانية الواحدة بدلالة المقدار  $.N(E)P(E)dE$

ان فيض الإلكترونات المنبعثة من الكاثود هو حاصل ضرب احتمالية الاختراق  $P(E)$  وعد  $N(E)$  من الإلكترونات في مستوى الطاقة  $E$  الذي يصل الى مساحة (١) سنتيمتر من سطح الفاز المدبب في الثانية الواحدة . وانه بالنسبة الى أنموذج الإلكترون الحر الذي يتحرك على محور واحد يكون عامل الاحتمالية  $P(E)$  ،

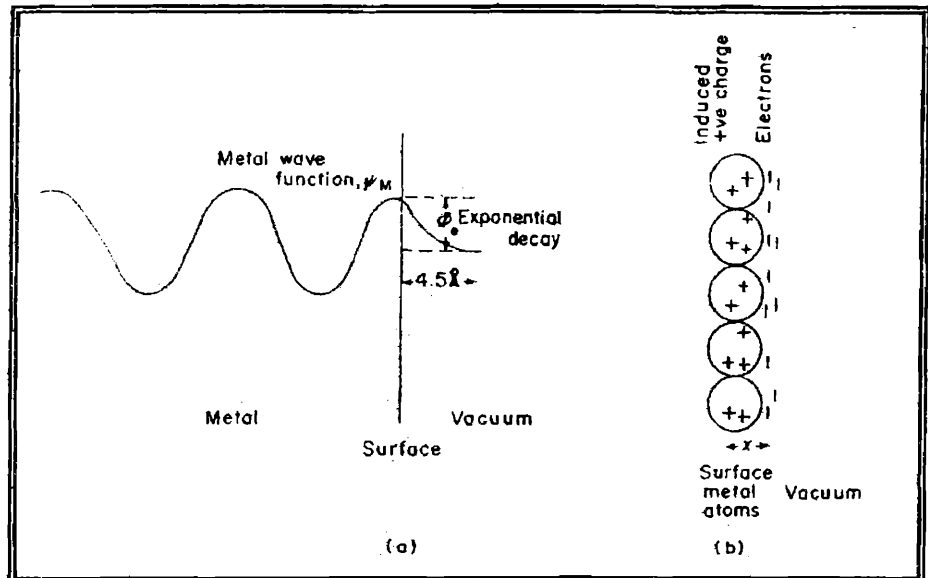
$$P(E) = \alpha \exp[-b \int_0^E (V-E)^{1/2}] \quad \dots \dots \dots \quad (7)$$

و  $E$  و  $V$  في هذه المعاللة هما الطاقتان الحركية والكامنة للإلكترونات التي تخترق حاجز الطاقة عبر النفق على التوالي ،  $\epsilon$  عرض حاجز الطاقة ، أما  $a$  و  $b$  فهما ثابتان . وعندما يكون الانموذج مبسطاً فإن حاجز الطاقة يأخذ شكل مثلث مع الاحداثيات :  $\phi = (V-E)$  عند سطح الفلز ( حيث  $x=0$  ) وعند قيمة  $0 = (V-E)$  على بعد معين خارج سطح الفلز حيث يكون  $x=\ell$  ( الشكل ١ ) . ويتم تغيير المساحة من قيمة

التكامل في المعادلة (4) والتي تساوي مساحة المثلث الذي يقدر ارتفاعه بـ  $\phi^{1/2} = (V-E)^{1/2}$  وطول قاعدته يبلغ  $\phi/F = e$  ويمكن تقريب قيمة التكامل من المقدار  $F/2e^{3/2}$ .

ان جهد الصورة المستحصلة للنهاية المدببة من جراء الالكترونات المنبعثة منها والساقطة على الشاشة الفلورسينية ينجم من جراء اعادة توزيع الكثافة الالكترونية المنطلقة من السطح الفلزي . ويكون شكل دالة الموجة الالكترونية داخل الفلز تنبينية ولكن الدالة تتلاشى اسياً خارج السطح لتكوين شحنة سالبة ( الشكل ٢). تكون بالتأثير شحنات مخالفة داخل الفلز . وتدعى التأثيرات المتبادلة الكهروسكنونية بين الالكترونات وشحنة الصورة الموجبة داخل الفلز بـ (( جهد الصورة )) Image Potential . ان المستويات البلورية الاكثر تراصاً تتصف بمعامل بلوري منخفضة ومتناقصة وجهاً كبيرة ، وكذلك بقيمة عالية لدالة الشغل . ويتغير جهد الصورة مع تغير معامل المستويات البلورية التي تقع على سطح النهاية الفلزية المدببة . فعلى سبيل المثال تكون قيمة دالة الشغل ( $\phi$ ) للمستوى البلوري (100) للتكتسين اعلى بحوالى (٣،٠) الكترون فولت عن قيمة هذه الدالة للمستوى البلوري (III) لنفس الفلز .

ولما كانت كثافة تيار الانبعاث الالكتروني من النهاية الفلزية المدببة تتغير اسياً مع المقدار  $e^{3/2}$  ، لذا فإن اي تغيرات طفيفة في قيمة دالة الشغل ( $\phi$ ) بمقدار (٠١،٠) الكترون فولت سوف تسبب تغيرات ملحوظة في كثافة تيار الالكترونات المنبعثة من النهاية المدببة .



الشكل (٢) — جهد الصورة :

(a) عند سطح الفلز — تتحول دالة الموجة التنبينية للإلكترون في الفلز إلى دالة انتقال أسيّة ، فتقلل الطاقة الكامنة للإلكترونات من  $\psi_0$  ( دالة الشغل المؤثرة ) إلى الصفر عند ابتعادها مسافة 4.5  $\lambda$  انكسترون ( أو أكثر ) من السطح .

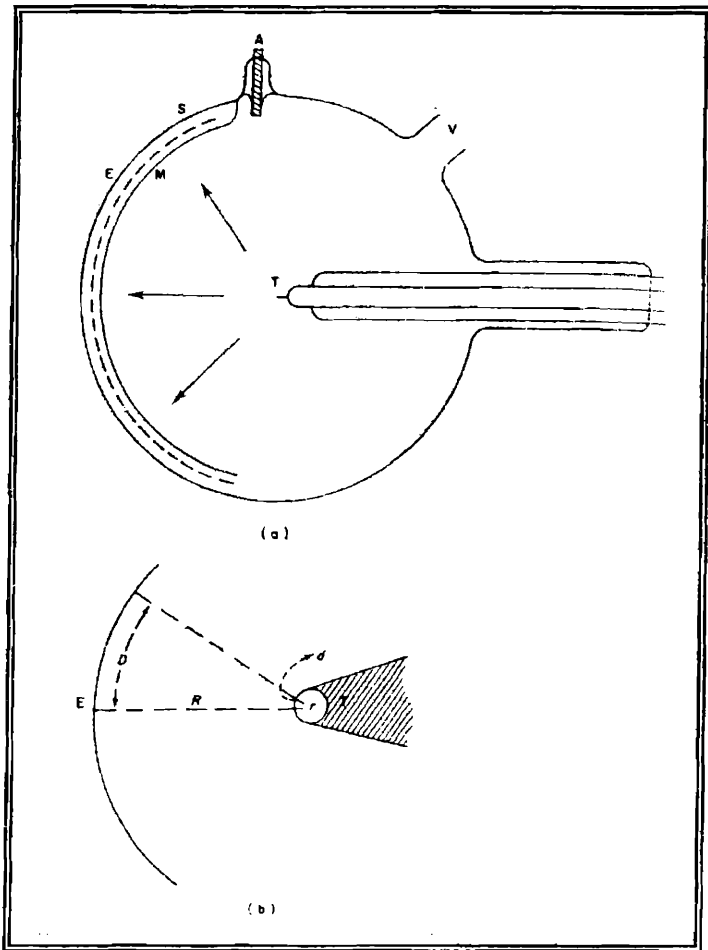
(b) الشحنة الإلكترونية خارج السطح — تنشأ خارج سطح الفلز شحنة مخالفة بعمليّة الحث ، وتكون هذه الشحنة متساوية ( من حيث القيمة ) للشحنة داخل الفلز . وترتبط حقيقة هذه الشحنات كلما زادت الكثافة الذريّة للسطح . يتم حساب جهد الصورة من العلاقة  $\propto e^2/4x$  حيث  $e$  الشحنة الإلكترونية و  $x$  المسافة الفاصلية بين طبقتي الشحنات الداخلية والخارجية .

## مجهر الانبعاث الإلكتروني Electron Emission Microscope

يكون هذا المجهر على هيئة غلاف زجاجي كروي ( او مخروطي ) الشكل يتم اكساء جداره الداخلي جزئياً بمادة شاشة فلورسينية ، بحيث تحيط هذه الشاشة بنهاية فلزية مدبوبة التي تقوم مقام الكاಥود في دائرة كهربائية . اما الانود ( عند جهد الارض ) يكون عادة موصلأً كهربائياً يكسي جيداً بمادة الاوكواداك ( Aquadag ) ويتم ربط هذا الموصل بالشاشة الفلورسينية . والاكواداك مستحلب كرافيتسي تكسي بها السطوح العازلة او شبه العازلة لزيادة قدرتها على اتصال التيار الكهربائي .

وبسلسلة مجال كهربائي عالي الشدة في الدائرة الكهربائية بين الكاಥود والانود تتبعث الانبعاثات من النهاية المدببة بطاقة حركية صغيرة ولكن بالامكان زيادة هذه الطاقة بتأثير المجال الكهربائي فتتسارع الانبعاثات في مسارها نحو الانود ( أي نحو الشاشة الفلورسينية ) وتتسير على امتداد خطوط القوة للمجال الكهربائي المسلط والتي تكون عمودياً على سطح النهاية المدببة ، متوجهة نحو الشاشة الفلورسينية . وتتوقف شدة السطوح للصورة المستحصلة على الشاشة مع فيض الانبعاثات المصطدمه بها . والصورة المستحصلة هي صورة مكبرة للنهاية الفلزية المدببة ( الشكل ٣ ) .

تكون النهاية الفلزية المدببة على هيئة نصف كرة متناهية في الصغر وتؤلف هذه النهاية (نصف الكروية) بلورة منفردة ( Single Crystal ) تشمل على عدد كبير من المستويات البلورية التي تتباين عن بعضها البعض في قيم دوال الشغل ( h ) . وتكون الصورة الساقطة على



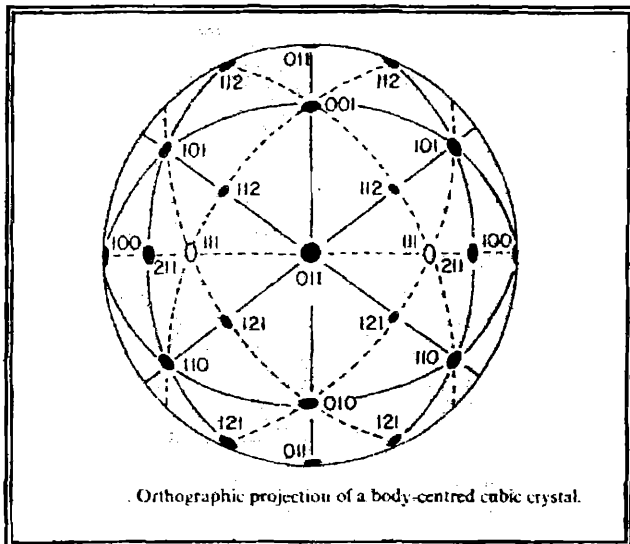
الشكل (٣) - (a) تمثيل بياني للجزاء الرئيسية في مجهر الاتباع المجلبي . E هو غلاف (أو وعاء ) زجاجي (كريوي أو مخروطي ) ، S شاشة فلورسنتية تقطي الجدار الداخلي للغلاف او الوعاء الزجاجي والتي يكون ايضاً مكسواً بطبقة موصلة (M) ، T نهاية فلزية مدبية تقوم مقام الكاثود وهي التي تبعث منها الالكترونات بتاثير المجال المسلط ، وتكون النهاية ملحومة سلك من فلز التكستن والذي يمكن تسخينه من خلال امرار تيار كهربائي في الطبيتين المربوطتين به . ويمكن تغيير درجة حرارة النهاية المدببة من تغيرات مقاومة سلك التكستن . A يمثل انوداً مربوطاً بسطح موصل كهربائي يتصل بالشاشة الفلورسنتية . (b) تكبير الصورة المرئية في مجهر الاتباع المجلبي - ويتوقف على نصف قطر القوس (r) للنهاية الفلزية المدببة وعلى نصف قطر (R) للغلاف الزجاجي (الكريوي ) فالتكبير يتمثل بنسبة طول القوس D على الشاشة الى طوله على النهاية المدببة ، أي يساوي  $\frac{D}{r} = \frac{R}{r}$  . وعندما يكون  $R = 10^2$  سنتيمتر و  $r = 10^{-4}$  سنتيمتر يصبح التكبير بحدود  $10^6$  مرة .

الشاشة اسطع اذا انبعثت الالكترونات من مستويات بلوريه قليلة الكثافة حيث يكون انبعاث الالكترونات منها كبيراً . ان مجموعة المستويات البلوريه الموجودة على النهاية الفلزية المدببة سوف تسبب صورة عاليه التكبير وبكثافات سطوح متباعدة على الشاشة الفلورسينيه . يبين المخطط (٤) خارطة تصصيلية للمستويات البلوريه الموجودة على بلورة منفردة من نوع المكعب مركزى الجسم (Body-Centered Cubic Crystal) .

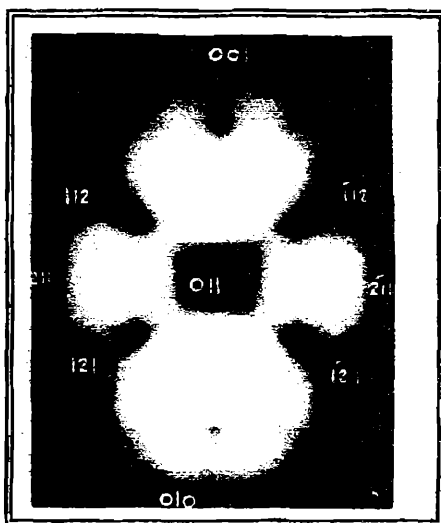
يتوقف مقدار التكبير لصورة البلورة المنفردة على الشاشة الفلورسينيه على نسبة المسافة بين النهاية المدببة والشاشة (d) على نصف القطر (r) تقوس النهاية المدببة ، أي على النسبة ( $d/r$ ) ويكون التكبير بحدود  $10^6$  الى  $10^7$  مرة بقدر مساحة سطح النهاية المدببة . ويمكن تحديد معاملات المستويات البلوريه المختلفه التي تتبع منها الالكترونات من خصائص التماضر للصورة المستحصله وبالاعتماد على الفوائل الزاويه ما بين المستويات البلوريه (الشكل ٥) .

ويمكن استخدام تقنـيـة التـقـبـ والمـجـسـ (Probe-hole) للفحـصـ المنفصل عن الالكترونات المنبعـةـ عن مستـوىـ واحدـ معـينـ يـقعـ عـلـىـ سـطـحـ النـهاـيـهـ المـدـبـبـهـ . فـالـالـكـتـرـونـاتـ المـنـبـعـةـ تـمـرـ فيـ هـذـهـ التـقـنـيـةـ عـبـرـ تـقـبـ بالـشـكـلـ الـذـيـ يـؤـديـ إـلـىـ اـخـتـيـارـ مـسـتـوـ بـلـورـيـ مـعـينـ ، وـيـتمـ تـبـيـئـ تـكـ الـالـكـتـرـونـاتـ باـسـتـخـدـامـ عـدـسـةـ كـهـرـوـسـكـونـيـةـ وـجـمـعـهـاـ فـيـمـاـ يـسـمـيـ بـقـفـصـ فـارـادـايـ (Faraday Cup) . وـيـتمـ تـحلـيلـ تـوزـيعـ الطـاقـةـ عـنـدـئـذـ بـشـكـ آـنـيـ .

يـبلغـ مـقـدـارـ المـيـزـ (Resolution) بـطـرـيـقـةـ الـانـبعـاثـ الـإـلـكـتـرـونـيـ بـتأـثيرـ المـجـالـ المـسـلـطـ بـحـدـودـ (20Å) (عشـرينـ انـكـسـتروـمـ) وـمـقـدـارـ هـذـاـ المـيـزـ لاـ يـعـنـدـ عـلـىـ شـدـةـ الـفـولـتـيـةـ الـمـسـلـطـةـ . وـهـذـاـ المـقـدـارـ مـنـ المـيـزـ لـنـ يـكـونـ بـمـقـدـورـهـ إـلـاـ النـقـاطـ صـورـةـ الـجـزـيـئـاتـ الـكـبـيرـةـ اوـ لـبـعـضـ الـتـجـمـعـاتـ



الشكل (٤) – خارطة تبين الامثلل المعمدي للمستويات البلورية في بلورة مكعبية مركزية الجسم لفاز مثل التكتسن . الأرقام تشير إلى معاملات ميلر hkl (Miller Indices) للمستويات البلورية الرئيسية الواقعة على سطح النهاية القذرة المدببة والتي تتبع منها الاكترونات وتتجه بمسارات عمودية على تلك المستويات لتقع على الشاشة الفلورسسينية .



الشكل (٥) – صورة مستحصلة على الشاشة الفلورسسينية في تقنية انباع الاكترونات المجالي باستخدام نهاية مدببة (أي بلورة منفردة ) من فاز للتكتسن . يمكن بالعين المجردة تمييز المستويات البلورية الرئيسية التي تقع على سطح البلورة المنفردة . البقع الخضراء تشير إلى المستويات البلورية التي حصل منها الانبعاث الاكتروني بكثافة عالية ، أما البقع الداكنة فهي تشير إلى المستويات البلورية التي انعدم منها انباع الاكترونات .

الذرية والجزئية . ولن يكون بالأمكان مشاهدة الذرة المفردة ، وكذلك  
الجزئية الصغيرة ، ولكن بالأمكان ابصار الجزيئات الكبيرة والمعقدات  
اذا ما عانت امتيازاً كيميائياً على المستويات البلورية للنهاية الفلزية  
المذكورة .

## استخدام التقنية لدراسة الامتراز الكيميائي

تحت اعادة توزيع لكثافات الالكترونات المتبعة من المستويات البلورية المختلفة للنهاية الفلزية المدببة عند حدوث امتزاز كيميائى على تلك المستويات . تعانى جزيئات الغاز او البخار الممترة كيميائياً على سطح النهاية المدببة استقطاباً ملحوظاً من جراء عملية انتقال الشحنة التي تحدث بين سطح الفلز (النهاية المدببة) والدفائق الممترة كيميائياً ، وت تكون طبقة من المستقطبات الممترة كيميائياً على المستويات البلورية للنهاية المدببة . وتشتمل هذه الطبقة على  $\frac{1}{4}$  من مستقطبات السطح في السنتمتر المربع الواحد منه ، ولكل مستقطب (جزيئة مستقطبة) عزم ثانى الاقطاب  $m$  ديباً ، فالجزيئات المستقطبة المرتبطة بسطح النهاية المدببة على هيئة طبقة تؤلف مع طبقة السطح (المستقطبة هي الاخرى ) مكشفاً كهربائياً ذات لوحين متوازيين . والامتزاز الكيميائى الذى يحدث على سطح النهاية المدببة يكون مصحوباً بتغير في قيمة دالة الشغل ( $\phi$ ) للسطح الفلزى مقداره  $5\%$  .

ويتوقف مقدار هذا التغير (أي  $\mu_0$ ) على عزم ثانٍي الاقطاب للمسقطبات المتكونة وعلى عدد ( $m$ ) من تلك المسقطبات المتكونة في السننمتل المربيع الواحد من السطح وفق العلاقة:

$$-\Delta\phi = (1.2 \times 10^{18}) \pi n_m \mu_m \quad \dots \dots \dots \quad (8)$$

وقد تتجه النهايات الموجبة لل المستقطبات بعيداً عن السطح ، او يحدث العكس وعندما تتحقق الحالة الاولى ، أي عند تكون مساقطات متوجهة نهاياتها الموجبة بعيداً عن السطح يكون مقدار التغير في جهد السطح  $\Delta x$  بقدر للتغير في قيمة دالة الشغل ولكن عكس الاشارة ، أي ان:

$$(9) \quad \Delta x = -\Delta \phi$$

وعندما يكون عزم ثانوي الاقطبان للدقائق الممتزة صغيراً (بحدود  $10 \text{ Debye} = 10^{-10} \text{ D}$ ) ، وعندما يكون تركيز المستقطبات على السطح بحدود  $10^5 \text{ cm}^{-2}$  يكون مقدار التغير في قيمة دالة الشغل ( $\Delta \phi$ ) بحدود (٤ . ٠) الكترون فولت . ومثل هذا المقدار من التغير قابل للقياس عملياً .

### القياسات العملية للتغيرات دالة الشغل

يمكن قياس دالة الشغل لسطح النهاية الفلزية المدببة قبل عملية الامتراء الكيميائي عندما تكون سطح النهاية المدببة نظيفة ، ويمكن كذلك قياس هذه الدالة ثانية عقب حدوث امتراء كيميائي على سطح النهاية المدببة . وهناك طريقتان لتحقيق ذلك . ففي الطريقة الاولى منها يتم تسلیط فولتنية ثابتة على النهاية المدببة ، والابقاء على الفولتنية دون تغيير ، ويتم خلال ذلك تسجيل تيار المنبع الاlectرونات قبل وبعد عملية الامتراء ، وهذه الطريقة غير محبذة كثيراً .

اما الطريقة الثانية فانها تتلاؤ تسجيل كثافة الالكترونات المنبعثة دالة للفولتنية (v) وذلك عند مجالات مسلطه غير عاليه . وتكون علاقه المقدار ( $i/v^2$ ) مقابل  $1/v$  عاده خطيه (الشكل ٦).

ويتناسب ميل لخط المستحصل مع المقدار<sup>٢</sup> ف يتم الحصول على قيمة المقدار  $\phi$  (أو  $\psi$  للغاز) .

يتم بعد ذلك امرار غاز بكميات ضئيلة جداً من خلال مدخل مناسب على سطح النهاية المدببة ، وقد يتم ذلك بالتسخين الكهربائي لملف من سلك البلاتين ترتبط به المادة التي يرلا مترالزاها على سطح النهاية المدببة ، وقد يتم من خلال التفكك الحراري كمركب مناسب مثل لوكسيد النحاسيك (في حالة الحصول على الأوكسجين) او التفكك الحراري كمركب هرريد الزركونيوم (الغرض الحصول على هيدروجين نقى) وهكذا . وبرسم علاقة بيانية مماثلة يتم الحصول على قيمة جديدة للمقدار<sup>٢</sup> ومنه يستحصل على  $\psi$  جديدة ، وبذا يتسعى الحصول على قيمة  $\phi$  من :

$$\Delta\phi = \phi_A - \phi_B \quad \dots \quad (10)$$

حيث  $\phi_A$  و  $\phi_B$  دالتا الشغل الالكتروني للنهاية المدببة النظيفة والمكسوة بطبيعة امتزاز كيميائى على التوالى .

ويمكن دراسة الامتزاز على مستويات بلورية معينة على سطح النهاية المدببة دون غيرها وقياس تغيرات دالة الشغل من جراء الامتزاز باستخدام تقنية القب والمجس التي اشرنا اليها فيما مضى . والمستويات البلورية المختلفة للنهاية المدببة تمتلك قدرات متباينة في الامتزاز الكيميائي ، فبعضها تمتلك قدرات كبيرة وللبعض الآخر قدرات أقل فائق . وعلى هذا فسوف تكون قيم  $\phi$  المستحصلة من المستويات البلورية المختلفة مختلفة ايضاً .

ويتناسب ميل لخط المستحصل مع المقدار  $\frac{d\phi}{dx}$  فيتم الحصول على قيمة المقدار  $\mu$  (أو  $\mu$  للغاز) .

يتم بعد ذلك امرار غاز بكميات ضئيلة جداً من خلال مدخل مناسب على سطح النهاية المدببة ، وقد يتم ذلك بالتسخين الكهربائي لملف من سلك البلاتين ترتبط به المادة التي يراد مترازها على سطح النهاية المدببة ، وقد يتم من خلال التفكك الحراري كمركب مناسب مثل اوكسيد النحاسيك (في حالة الحصول على الاوكسجين) او التفكك الحراري كمركب هرید الزركونيوم (الغرض الحصول على هيدروجين نقي) وهكذا . ويرسم علاقة بيانية مماثلة يتم الحصول على قيمة جديدة للمقدار  $\frac{d\phi}{dx}$  ومنه يستحصل على  $\mu$  جديدة ، وبذا يتسعى الحصول على قيمة  $\mu$  من :

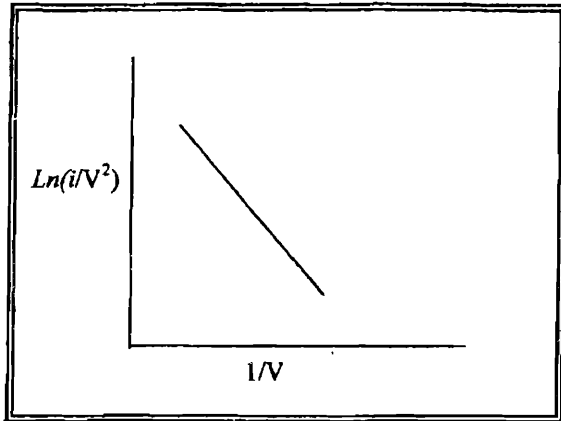
$$\Delta \mu = \mu_B - \mu_A \quad \dots \dots \dots \quad (10)$$

حيث  $\mu_B$  و  $\mu_A$  دالتا التشغيل الالكتروني للنهاية المدببة النظيفة والمكسوة بطبقة امتزار كيميائي على التوالي .

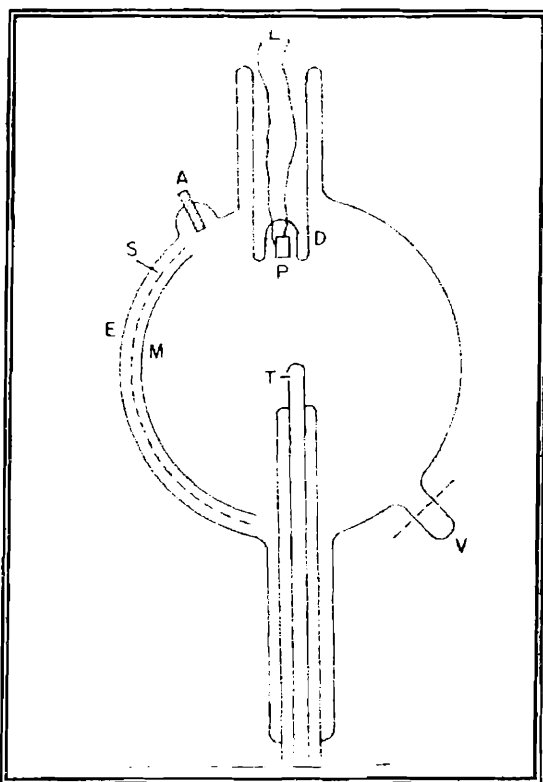
ويمكن دراسة الامتزاز على مستويات بلورية معينة على سطح النهاية المدببة دون غيرها وقياس تغيرات دالة الشغل من جراء الامتزاز باستخراج تقنية التقطب والمجس التي اشرنا اليها فيما مضى . والمستويات البلورية المختلفة للنهاية المدببة تمتلك قدرات متباعدة في الامتزاز الكيميائي ، فبعضها تمتلك قدرات كبيرة وللبعض الآخر قدرات اقل فاقلاً . وعلى هذا فسوف تكون قيم  $\Delta \mu$  المستحصلة من المستويات البلورية المختلفة مختلفة ايضاً .

## قابلية حركة المتمترقة كيميائياً Mobility of Chemisorbed Species

يتم ادخال الغاز الذي يراد دراسة امتراره على سطح نهاية فلز مدببة من خلال مدخل خاص يتصل بمصدر الغاز ، يتم بواسطته توجيه الجزيئات الغازية التي تدخل الغلاف الكروي الزجاجي نحو جهة واحدة من سطح النهاية الفلزية المدببة (الشكل ٧) وتنتمي احاطة الغلاف الكروي الزجاجي بسائل الهيدروجين او الهيليوم ، فينخفض الضغط البخاري للغازات المتبقية داخل الغلاف الزجاجي الى اقل من  $10^{-12}$  او  $10^{-28}$  باسكال على التوالي . كما وان درجة الحرارة الواطئة لسائل الهيدروجين او الهيليوم من شأنها جعل معامل احتمالية الالتزاق (Sticking Probability) للجزيئات الغازية المصطدمه بالنهاية الفلزية المدببة وبدران الغلاف الزجاجي من الداخل في حدود الواحد . فالامترار ينحصر عنده ب تلك المستويات البلورية من النهاية المدببة التي تقع على امتداد خط واحد مع مسار المقنوف من الجزيئات الداخلة الى الغلاف الزجاجي ، وان جميع الجزيئات الاخرى سوف تعانى تكافقا في الحال على جدران الغلاف الزجاجي من الداخل . فتبقى كافة للمستويات البلورية ( باستثناء المستوى الذي يقع على امتداد مسار المقنوف من الجزيئات ) ، بعيدة عن تأثيرات جزيئات الغاز . فالغاية الاساسية اذن من هذه العملية هي جعل الامترار الكيميائي محصوراً بمستوى بلوري معين دون غيره من المستويات البلورية الموجودة على سطح النهاية الفلزية المدببة.



الشكل (٦) - العلاقة الخطية التي تربط المقدار  $(i/V^2)$  بـ  $1/V$  والتي يمكن من قيمه ميلها الحصول على قيمة  $\phi^{3/2}$  وكذلك على قيمة دالة الشغل الالكتروني  $\phi$ .



الشكل (٧) تمثيل تخطيطي لمجهز الانبعاث المجالي لدراسة ظاهرة انتشار الدقائق المترزة على السطح . D يمثل وعاء بيولار (قبضة ترمس ) لغرض وضع سائل بارن فيه لفرض تكثيف جزيئات الغاز او البخار على لموقع البالستيني P . والرمز L يمثل سلك التكتسين والتقطفين المرتبطين به ، مع ملاحظة ان النهاية الفازية المدببة في هذا الشكل يرتبط بالموقع الجديد T الذي يختلف عن الموقع المحدد لها في الشكل (٣) .

يتم بعد ذلك تسخين النهاية المدببة التي تكسو جزيئات الامتراز مستوى معين من مستوياتها الى درجات حرارة أعلى وذلك بامرار تيار كهربائي في الملف الذي يحمل النهاية المدببة ، وتقاس مقاومة الملف تباعاً لمراقبة درجات الحرارة التي تصل اليها النهاية المدببة من جراء التسخين . فالدقائق الممتازة كيميائياً على مستوى ( او على مستويات معينة ) معين سوف تكسب قابلية على الحركة وتبدأ بالانتشار تدريجياً نحو المستويات البلورية الأخرى التي بقيت غير مكسوة بالدقائق الممتازة . ونتم متابعة تغيرات الصورة على الشاشة الفلورسسينية ، ويمكن منها تقدير كل من معامل الانتشار وكذلك تقدير قيمة طاقة تشغيل التنقل على السطح . كما ويمكن قياس معاملات درجة الحرارة لسرع الابتزاز عند تسخين النهاية المدببة الى درجات حرارة مختلفة عالية . وتفيد هذه المعلومات في الحصول على طاقة تشغيل الابتزاز وبذا يمكن التعرف على قوى ارتباط الدقائق الممتازة بسطح النهاية المدببة ، أي يمكن الحصول على معلومات عن حرارة الامتراز وطاقات التأثير للدقائق الممتازة مع المستويات البلورية المختلفة لسطح النهاية الفلزية المدببة .

## ٢ - تقنية انباع الايونات المجالي

هناك تشابه بين تقنية انباع الالكترونات المجالي وتقنية انباع الايونات المجالي من حيث مفردات مكونات المجهرين المناظرين للتقنيتين ، اما اوجه الاختلاف بين التقنيتين فتتضمن :

- (١) ان النهاية الفلزية المدببة كانت في تقنية انباع الالكترونات المجالي بمثابة الكاثود ( الكاثود البارد ) ، الا انها تصبح في تقنية انباع الايونات المجالي بمثابة الانود .

(ب) الشاشة الفلورسقينية في تقنية انبعاث الالكترونات المجالي كانت بمثابة الانود في حين تصبح بمثابة الكاثود في تقنية انبعاث الايونات المجالي .

(جـ) الغلاف الزجاجي الكروي كان يبقى مفرغاً من الهواء الى ضغوط منخفضة جداً ( اقل من  $10^{-11}$  باسكال ) في تقنية انبعاث الالكترونات المجالي . اما في تقنية انبعاث الايونات المجالي فانه يُملأ بغاز الهيليوم تحت ضغط ( $1\text{--}10$ ) باسكال .

اذن في تقنية انبعاث الايونات المجالي يتالف المجهر من شاشة فلورسقينية تقوم مقام الكاثود ومن نهاية فلزية مدبوبة تقوم مقام الانود . ويملأ الاناء والفسحة التي تقع بين الكاثود والانود بغاز الهيليوم عند ضغط ( $1\text{--}10$ ) باسكال . وتنتمي هذه التقنية احاطة الغلاف الزجاجي من الخارج بسائل الهيدروجين او بسائل الهيليوم . وعند تسلیط مجال كهربائي عالي ( شدته  $10\times 5^4$  فولت على السنتمتر ) تتأین نرات الهيليوم المصطدمه بالنهاية الفلزية المدببة . يتم بعد ذلك تحريكها وتعجیل حركتها باتجاه الشاشة الفلورسقينية ( الكاثود ) بفعل المجال الكهربائي المسلط الذي يمكن التحكم في قيمته بدقة . وتسقط ايونات الهيليوم المتوجلة على الشاشة الفلورسقينية محدثة اصطدامات معها . ونرات الهيليوم المصطدمه بالشاشة تحدث بقعاً ضوئية ساطعة عليها . وعندما يكون نصف قطر التقوس للنهاية الفلزية المدببة بحدود ( $10\times 5^4$ ) سنتمتر ، وتكون المسافة الفاصلة بين النهاية الفلزية المدببة والشاشة الفلورسقينية بحدود ( $100$ ) سنتمتر يصبح التكبير المستحصل للنهاية المدببة على الشاشة بحدود  $10^4$  الى  $10^7$  مرة . والبقع الساطعة التي يتم ملاحظتها على الشاشة الفلورسقينية

تتاظر المولع النوعية للمستويات للبلورية المختلفة الواقعة على سطح النهاية المدببة الباعثة للايونات . وتنغير كثافات توزيع شدة الايونات المنبعثة من المستويات البلورية المختلفة في حالة الامترار الكيميائي على النهاية الفلزية المدببة ( الشكل ٨ ) .

ان الفائدة الاساسية من مجهر الايونات المجالي تكمن في التحسن الكبير الذي يحدث في الميز (Resolution). فيما كان هذا الميز بحدود ( ٢٠ ) انكسنروم في تقنية انباع الاكترونات المجالي فانه ينخفض الى ( ٣-٢ ) انكسنروم في حالة تقنية انباع الايونات المجالي ، ويصبح بالامكان عنده مشاهدة الذرة المنفردة ، والجزيئه المنفردة ، وكذلك مشاهدة التجمعات الذريه والجزيئيه المختلفة ، ويمكن بالتالي متابعة تحركات الذرات والجزيئات وتجمعاتها على الشاشة الفلورسينية .

ان معامل التكيف لذرات الهيليوم على سطح النهاية الفلزية المدببة يكون صغيراً وبحدود ( ٠٠٢ ) تقريرياً . والبقع الساطعة في هذه التقنية تنشأ عن وجود ذرات الهيليوم التي تعاني امتراراً ضعيفاً على سطح النهاية الفلزية المدببة . وعندما تقترب ذرات الهيليوم من النهاية الفلزية المدببة فانها تعاني استقطاب بتاثير المجال الكهربائي المسلط ، فيتم تعجيل حركتها باتجاه النهاية الفلزية المدببة اولاً وترداد طاقتها الحركية الى الضعف قياساً بالحالة في غياب المجال المسلط . وبالحصول على ازيد المقطع العرضي لذرة الهيليوم التي يتم اصطيادها من قبل النهاية المدببة ، وتزداد بذلك قوة تأثيرها مع سطح النهاية المدببة . وتأثر الذرات مع ذرات السطح الفلزية تصل قيمة قصوى عندما تصل الذرات الى ما فوق الذرات الفلزية تماماً . وعلى هذا فان الصور

المستحصلة على الشاشة سوف لن تتغير كثيراً بوجود النزارات الممتازة على السطح .

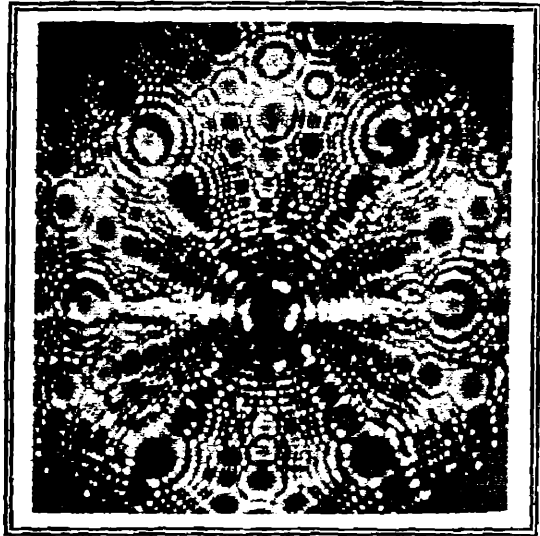
### نتائج بعض الدراسات

#### ١ - امتراز النزون على سطح التكسن

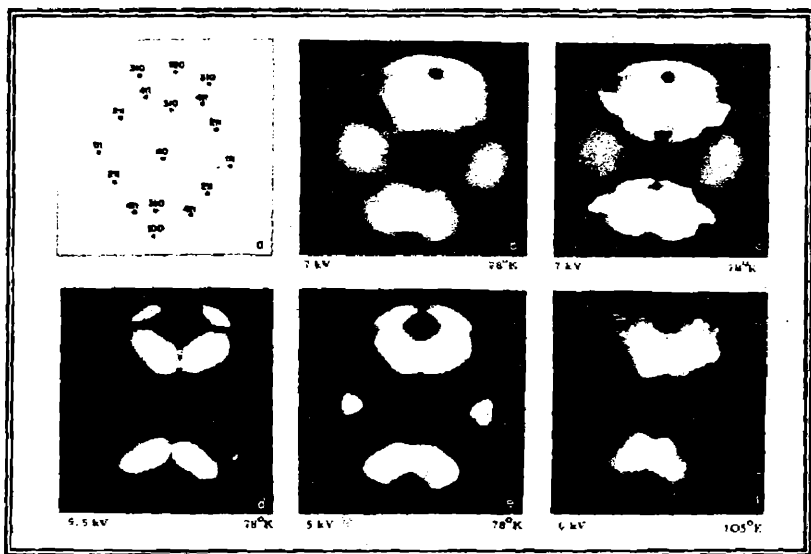
يعرض الشكل (٩) صوراً مستحصلة بتقنية انبعاث الالكترونات المجالية لسطح التكسن النظيف ( الصورة a ) وعقب حدوث امتراز لغاز النيون على السطح بدرجة ٧٨ كلفن ( الصور من c الى e )، وبعد تسخين التكسن الى درجة ( ١٠٥ ) كلفن ( الصورة f ) الفولتيات المستخدمة للحصول على الصور مثبتة على الصور نفسها . الصورة ( a ) تمثل خارطة توزع اهم المستويات البلورية على نهاية التكسن المدببة . وبمقارنة الصور من ( b ) الى ( f ) بالصورة ( a ) يمكن التعرف على المستويات البلورية التي اصابها اختفاء تدريجي لانبعاث الالكترونات وهي المستويات التي ذهب عنها السطوع من جراء ازدياد قيمة دالة الشغل الالكتروني لتلك المستويات البلورية .

#### ٢ - امتراز الهيدروجين على التكسن

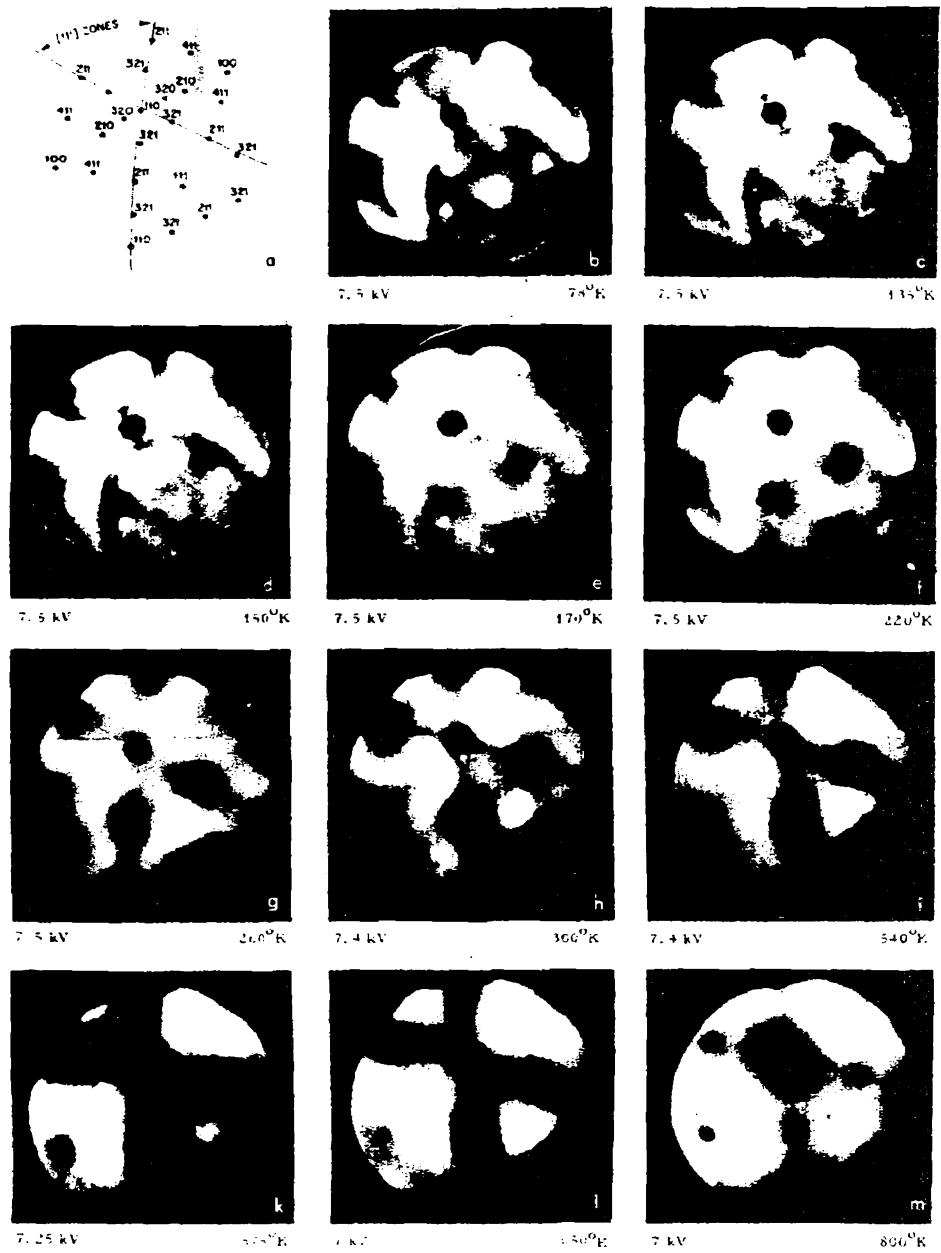
يبين الشكل ( ١٠ ) صوراً مستحصلة بتقنية انبعاث الالكترونات المجالية لامتراز الهيدروجين على التكسن ( الصورة b ) بدرجة ٧٨ كلفن ، وعقب معاملة نهاية التكسن المدببة بالتسخين الى درجات حرارة مختلفة ( من c الى a ) الى ان يتم استرجاع صورة سطح التكسن النظيف ( الصورة m ) . وبمقارنة الصور من ( b ) الى ( a ) بالصورة ( a ) والتي تخص اهم المستويات البلورية الظاهرة للعيان على بلورة التكسن المنفردة يمكن التعرف على المستويات البلورية



الشكل (٨) — صورة أنيمات الأيونات المجالي من فاز التكسن باستعمال غاز الهيليوم للتسانين .  
يلاحظ في الشكل المستوى البلوري  $O\text{II}$  الذي يقع في مركز الصورة . ( كلرن هذا الشكل بالشناكلين ٤ و ٥ ) .



الشكل (٩) — امتراز الزنون على التكسن . (a) خارطة المستويات للبلوريه لنهاية التكسن المدببة . الصورة (b) صورة لبعض الالكترونات المجالي لمطح التكسن النظيف . الصور من (c) إلى (e) توضح امتراز غاز الزنون بدرجة ٢٨ كلفن وقوليات مختلفة على سطح التكسن .  
الصورة (f) هي لسطح التكسن عقب تسخين طبقة الامتراز الى (١٠٥) كلفن .



الصورة (١٠) – صور مستحصلة بتقنية انبثاث الاكترونات المجالية لامتراز غاز الهيدروجين على سطح التكسن (الصورة b) بدرجة ٧٨ كلفن ، وعقب تسخين التكسن الى درجات حرارة مختلفة (من c الى l) الى ان يتم استرجاع صورة سطح التكسن للظريف (الصورة m) .  
الفوئيات المسلطة وبدرجات حرارة السطح المختلفة مثبتة على الصورة المختلفة .

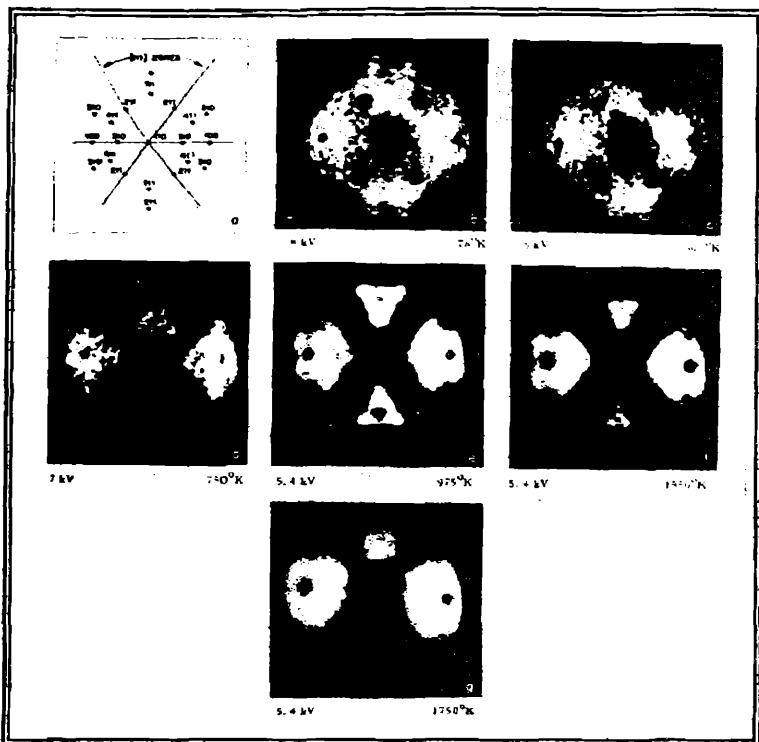
التي حصل عليها الامتراز ( في الصورة b) وكذلك التي حصل منها انتقال ذرات الهيدروجين منها تمهيداً للابتزاز عن السطح كلياً . درجات الحرارة التي تم تسخين التكسن إليها والفولتنيات المسلطة على الانود للحصول على الصور مثبتة على الصور المختلفة . هناك تغيرات في دالة الشغل الالكتروني للتكسن تناظر إلى مراحل الامتراز والانتقال والأبتزاز المختلفة .

### ٣ - امتراز وابتزاز احادي اوكسيد الكربون على التكسن

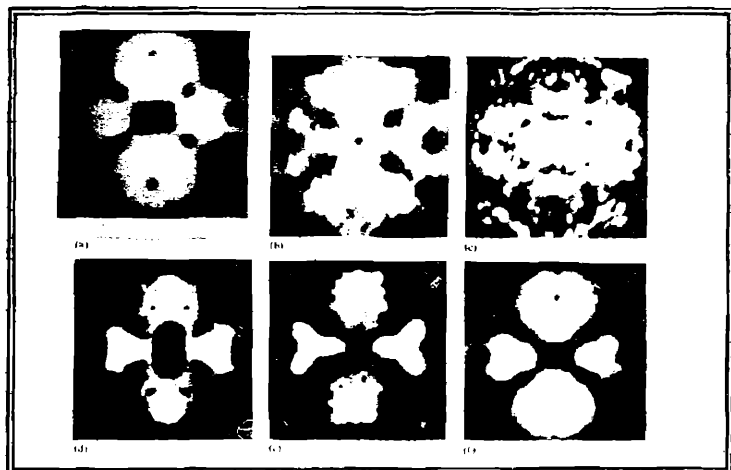
يبين الشكل (١١) مراحل امتراز غاز CO على التكسن ومن ثم توزع الغاز الممترز على المستويات البلورية المختلفة لسطح التكسن . ويتم ثبيت درجة حرارة الامتراز ( الصورة b) ودرجات حرارة التقل والابتزاز ( الصورة من b إلى g) على سطح التكسن . والفولتنيات اللازمة للحصول على الصور مثبتة عليها كذلك . يلاحظ في الشكل (١١) ان تسخين نهاية التكسن المدببة الى ١٧٥٠ كلفن لم يكن كافياً لاسترجاع صورة سطح التكسن النظيف بسبب قوة ارتباط جزيئات CO بالمستويات البلورية المختلفة .

### ٤ - امتراز غاز الاوكسجين على التكسن

يبين الشكل (١٢) امتراز الاوكسجين على سطح التكسن ومن ثم مراحل ابتزازه منه . فالشكل (١٢ a) يعرض صورة انبعاث الالكترونات المجلبي لسطح التكسن النظيف . الصورة (b) تشير الى الامتراز الكيميائي للاوكسجين على التكسن بدرجة ٣٠٠ كلفن ، وعند تسخين التكسن الى ( ١٠٠٠ ) كلفن تتحول الحالة الى الصورة ( c )، والصورة (d) تم الحصول عليها عقب تسخين التكسن الى ( ١٧٠٠ )



(١١) - امتراز غاز احادي او كميد الكربون (CO) على سطح التكسن بدرجة ٧٨ كلفن وتسخين السطح بعد ذلك الى درجات حرارة مختلفة بلغت ١٧٥٠ كلفن . درجات الحرارة . والفولتيات مثبتة على الصور المختلفة .

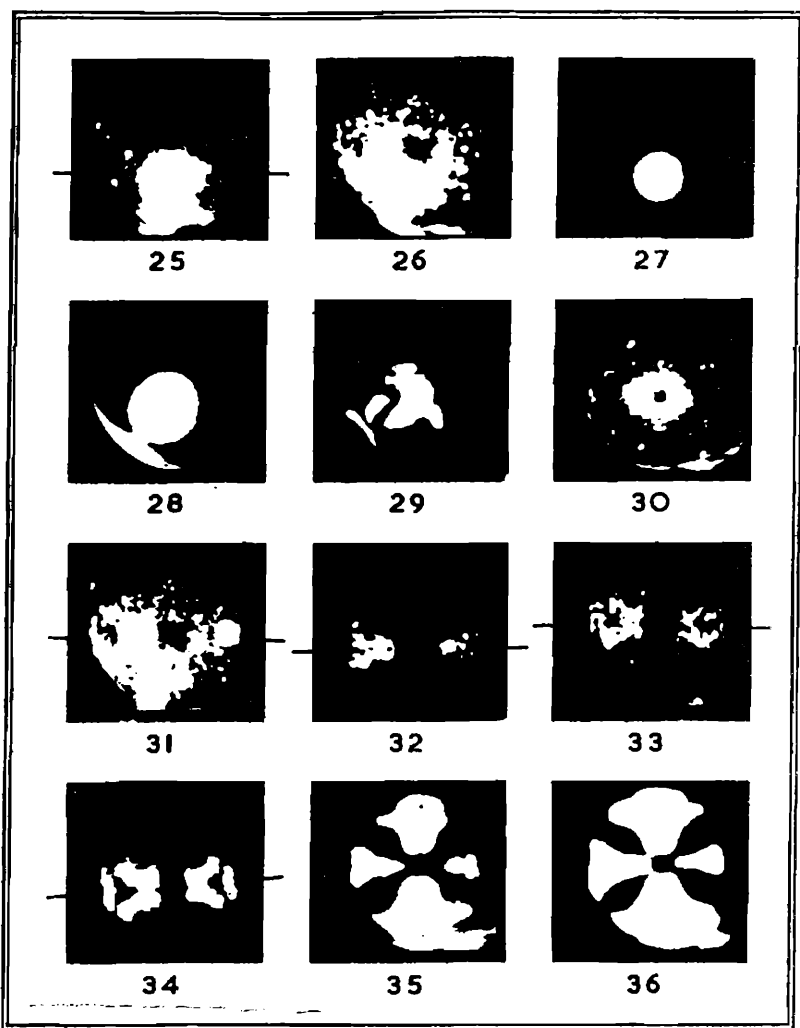


(١٢) - امتراز الاوكسجين على سطح التكسن . لسطح النظيف في الصورة (a) . الامتراز في الصورتين (b) و (c) . تسخين سطح التكسن الى درجات حرارة اعلى في الصور (d) الى (f) . الفولتيات المسلطة ودرجات الحرارة وكعوبات الامتراز موضحة في الحاشية الانكلزية تحت الصور .

كلفن ، والصورة (٤) الى (١٩٠٠) كلفن ، اما الصورة (٥) فقد تم الحصول عليها بعد تسخين التكسن الى (٢١٠٠) كلفن ، وهذه الصورة لا تزال مختلفة عن صورة سطح التكسن النظيف المعروضة في (٦) مما يدل على ان ارتباط الاوكسجين بسطح التكسن ارتبط قوي . الفولتيات الالزمه للحصول على الصور مثبتة على الصور المختلفة .

#### ٥ - امتزاز الكبريت على سطح التكسن

يعرض الشكل (١٣) الامتزاز الكيميائي لبخار الكبريت على سطح التكسن في صور انبعاث الالكترونيات المجالي للسطح . فالصورة (٢٥) تشير الى تشبع سطح التكسن بال الكبريت ، ويلاحظ انه عند ابقاء المجال الكهربائي مسلطاً على نهاية التكسن المدببة تظهر دقائق مضيئة على الشاشة وهي في حالة حركة مستمرة ، وهناك اختفاء مستمر لبعض البقع المضيئة المتحركة وظهور غيرها على الشاشة . وقد يحصل انماج لعدد من النقط المضيئة مع بعضها البعض لتكوين نقطة مضيئة اكبر حجماً ، او قد تعاني بعض البقع انقسامات الى دقائق مضيئة اصغر . وقد تتمو نقطة مضيئة واحدة من بين الاف النقاط المضيئة فتكبر شيئاً فشيئاً حتى تغطي الشاشة باكملها خلال ثوانٍ معدودة ، وهذا واضح في الصورتين (٢٧) و (٢٨) . وعند تسخين الصورة هذه الى (١٤٠٠) كلفن تتحطم الصورة شبه الكروية الى قطع غير منتظمة الشكل . وبتبريد التكسن الى (٣٠٠) كلفن ، وتسخينه بعد ذلك تدريجياً الى درجات حرارة اعلى (٥٥٠ الى ٦٠٠ كلفن ) يتم الحصول على صور انبعاث الالكترونيات المجالي الموضحة من (٣٠) الى (٣٦) . ويبقى الانبعاث الالكتروني في الصور (٣٢) الى



الشكل (١٢) – الامتراز الكيميائي لبخار الكبريت على سطح التكسن في تقنية انبعاث الاكترونات المجالي . النمو البلوري للكبريت على التكسن واضح في الشكلين (٢٧) و (٢٨) . تحطم البلورة النامية بتأثير المجال الكهربائي والتسخين في الصورة (٢٩) . توزع طبقة الامتراز الكيميائي على السطح في الشكلين (٣٠) و (٣١) . تركز الامتراز على المستويات البلورية الواقعة على جانبي المستوى المركزي (OII) .

(٣٤) المستحصلة في مدى درجات الحرارة من (١٠٠٠ - ١١٥٠) كلفن محصوراً في الجانبين الأيمن والأيسر من سطح التكتسن ويختفي كلية من المستويات البلورية في الموضع الآخر من نهاية التكتسن المدببة .

فالصورتان (٢٧) و (٢٨) تشيران في الواقع إلى حصول نمو بلوري للكبريت على سطح التكتسن بفعل المجال الكهربائي المسلط على السطح بدرجة (٣٠٠) كلفن . وهذه التجمعات النامية بصورة شبه كروية تتعرض إلى الانقسام والتحطم عند التسخين إلى (١٤٠٠) كلفن (الصورة ٢٩) ، ثم تتوزع على عموم سطح التكتسن في الصورتين (٣٠) و (٣١) ثم تتركز الدفائق الممتازة على المستويات البلورية التي تقع أصلق وعلى المستوى (OII) البلوري المركزي (الصور ٣٤-٣٢) ثم تنتشر إلى عموم السطح في الصور (٣٥) و (٣٦) المستحصلة بدرجات الحرارة من (١٢٠٠) إلى (١٦٠٠) كلفن .

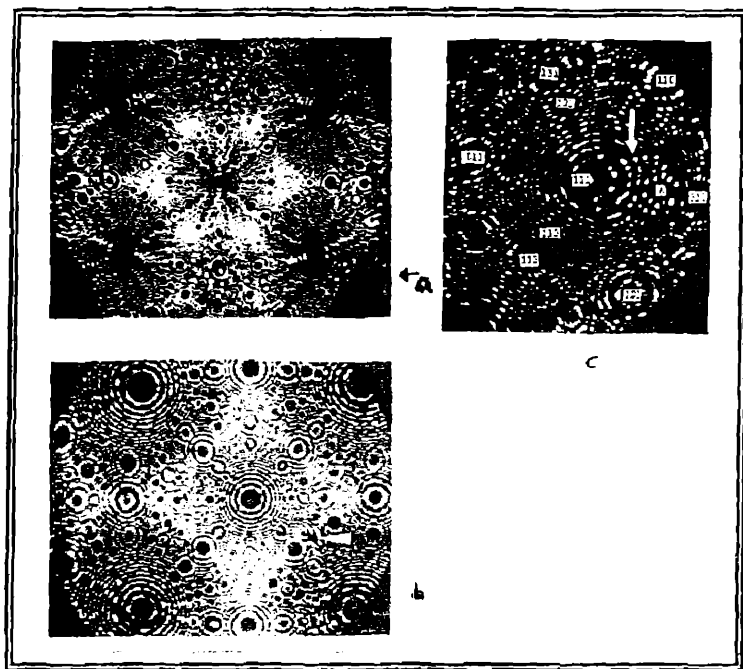
## ٦ - بعض صور انبعاث الأيونات المجالية

يبين الشكل (١٤) صورتين لأنبعاث الأيونات المجالية من سطح التكتسن (الصورة a) ومن سطح الاريديوم (الصورة b) النظيفين قبل حدوث امتراز كيميائي عليهما . وتم الحصول على الصورتين باستعمال غاز الهيليوم تحت ضغط (١ ، ٠) باسكال الذي يملا به أنبوب الانبعاث المجالي . ويلاحظ في الصورتين ان الميز لتقياساً بالصور التي تستحصل بتقنية الانبعاث الإلكتروني ، اذ يمكن مشاهدة النرات الواقعة على السطح ، كما يمكن تمييز بعض المستويات البلورية للرئيسة على سطح كل فلز البقعة المركزية السوداء في الصورة (a) هي لمستوى (OII) المركزي البلوري . وفي الصورة (b)

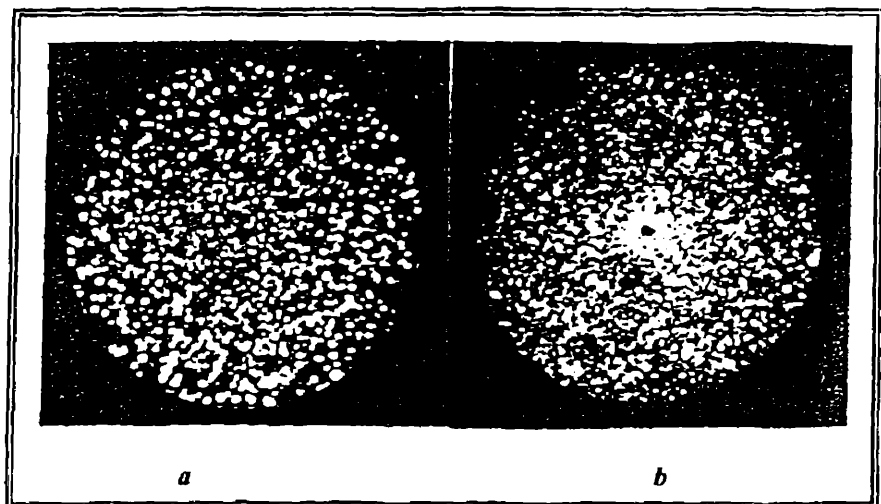
لمستوى (IOO) المركزي البلوري، أما الصورة (c) فهي لانبعاث الايونات المجالي من الحديد باستعمال النيون بدل الهيليوم .

#### ٧ - انبعاث الايونات المجالي من حديد الصلب المقاوم للصدأ

يبين الشكل (١٥) صورتين مستحصلتين بتقنية انبعاث الايونات المجالي لسطح نهاية مدبة من حديد الصلب المقاوم للصدأ . فالصورة (a) هي لسطح نظيف في غياب أي امتراء كيميائي ، أما الصورة (b) فهي لنفس السطح بعد مليء أنبوب انبعاث الايونات المجالي بالهيدروجين . يلاحظ ازدياد الانبعاث المجالي في وجود الهيدروجين الممتر على السطح ، وتركز الهيدروجين الممتر فيما حول المستوى المركزي البلوري (OII) .



الشكل (١٤) - صورتان لاتبعاث الايونات المجالى من سطح التكتسن (a) ومن سطح الاريديوم (b) قبل حدوث أي امتراز عليهما . تم الحصول على الصورتين باستعمال غاز الهيليوم تحت ضغط (١٠٠) باسكال . الصورة (c) فهى لاتبعاث الايونات المجالى من الحديد ( باستعمال غاز النيون بدل الهيليوم ) في هيكل نحاس .



الشكل (١٥) - صورتان مستحصلتان بتقنية اتبعاث الايونات المجالى لحديد الصلب العقاوم للصدأ . الصورة (a) لسطح نظيف في حين أي امتراز كيميائى والصورة (b) بعد امتراز للميبروجين على السطح .

### المصادر المعتمدة

1. J. M. Saleh, M. W. Roberts and C. Kemball, J. Catal, 1963, 2, 189.
2. J. M. Saleh, J. de physique, 1986, 47, C7 - III.
3. J. M. Saleh, J. de physique, 1987, 48, C6 - 475.
4. R. Gomer, Field-Emission and Field-Ionization, Harvard University Press, Cambridge, Mass, 1961.
5. R. H. Fowler and L.W. Nordheim, Proc. R. Soc. A, 1928, 119, 173.
6. F.C. Tompkins, Chemisorption of Gases on Metals, Academic Press, London, 1978.
7. G. Ehrlich, Adv. Catalysis, 1963, 14, 256.
8. E.W. Muller and T.T. Tsong, Field - Ion Microscopy, Principles and Applications, Elsevier Publishing Co., New York, 1969.
9. G. Wedler, Chemisorption: An Experimental Approach Translated by D. F. Klemperer, Butterworths, London, 1976.
10. E. W. Muller in W. G. Berl. (ed.), physical Methods in Chemical Analysis, Academic Press, New York, 1956, Vol 3, p.135.
11. M. Weilmuth and E. Bechtold, Appl. Surf. Sci., 1980, 5, 243.
12. 33<sup>rd</sup> International Field Emission Symposium, July (7-11), 1986, Berlin, Edited by J. H. Block, et al, France.
13. 34<sup>th</sup> International Field Emission Symposium, July (13-17), 1987, Japan, Edited by S. Nakamura, et al, Japan.